

05; 07

(C) 1992

ИЗМЕНЕНИЕ АТОМНОЙ СТРУКТУРЫ СТЕКЛА ПОСЛЕ ЛАЗЕРНОЙ ОБРАБОТКИ

Е.О. Филатова, С.И. Сагитов,
 Т.А. Благовещенская, С.К. Кожахметов,
 А.Б. Преображенский

Целью настоящей работы является изучение влияния воздействия лазерного излучения на стекло (лазерная полировка стекла). Исследуемые объекты представляли собой подложки из кварца диаметром 30 мм после простой полировки с последующей лазерной обработкой и после глубокой полировки с аналогичной лазерной обработкой. Использовался промышленный непрерывный CO_2 лазер мощностью 100 Вт. Образцы облучались при диаметре зоны облучения 15 мм без дополнительной фокусировки с использованием сканирования пятна вдоль облучаемой поверхности.

Анализ атомной структуры приповерхностных слоев стекол проводился методом ультрамягкой рентгеновской рефлексометрии [1, 2] с использованием рентгеновского спектрометра-монохроматора РСМ-500 в специальной камере-приставке. Для зондирования по глубине использовалась зависимость глубины формирования отраженного пучка от угла падения на образец θ_0 .

На рис. 1, а приведены $\text{Si}L_{2,3}$ -спектры отражения монокристалла α -кварца и стеклообразной массивной пленки SiO_2 толщиной 800 Å, выращенной методом сухого окисления на кремниевой подложке. Видно, что для всех спектров характерно наличие трех основных полос А, В, С. При этом полосы С' и С'' наблюдаются при всех изученных углах скользящего падения θ_0 и, следовательно, на всех глубинах зондирования, только в спектрах α -кварца.

Процесс поглощения рентгеновских лучей имеет локальный характер, поэтому определяющую роль в формировании ближней тонкой структуры рентгеновских спектров поглощения (БТС РСП) играет ближайшее окружение поглощающего атома. В связи с этим для расчета спектров поглощения часто используется кластерный или квазимолекулярный подход, в котором задача нахождения волновых функций, энергии и матричных элементов вероятности переходов решается для выделенного квазимолекулярного или кластерного фрагмента, удовлетворяющего принципу трансляционной симметрии кристалла [3, 4].

Благодаря существованию корреляции изменений тонкой структуры спектров поглощения и отражения возможен непосредственный анализ кривых отражения $R(\varepsilon)$ без трудоемкого расчета спектров поглощения. Согласно [5, 6], в рамках квазимолекулярного подхода полоса С наиболее чувствительна к изменениям поля атомов окру-

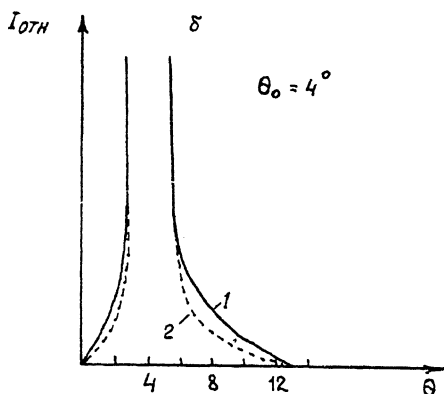
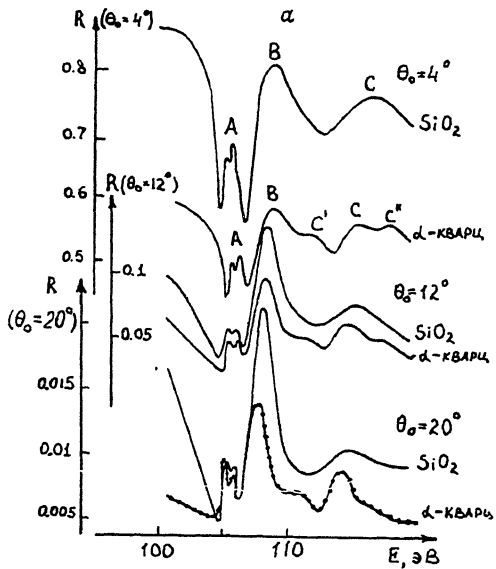


Рис. 1. а) Ближняя тонкая структура $Si\ L_{2,3}$ -спектров отражения монокристалла α -кварца и стеклообразной массивной пленки SiO_2 при углах скользящего падения $\theta_0 = 4^\circ, 12^\circ$ и 20° .
б) Угловые распределения рассеянного излучения длиной волны $\lambda = 57 \text{ \AA}$ для угла скользящего падения $\theta_0 = 4^\circ$: α -кварц (1), SiO_2 (2).

жения поглощающего атома кремния, поэтому тонкая структура C' , C'' в области максимума С спектра отражения будет ассоциироваться нами с переходами в искаженные молекулярным полем состояния d -типа атомов кремния.

Анализируя структурные отличия обсуждаемых объектов, следует обратить внимание на отсутствие в стекле дальнего порядка,

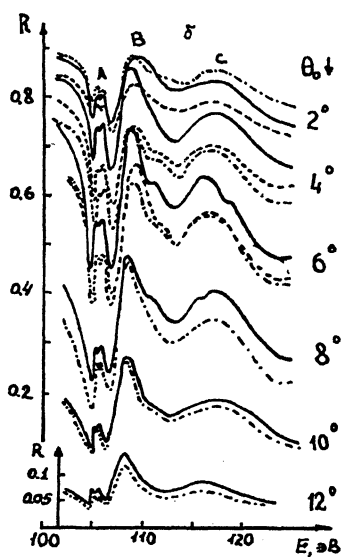
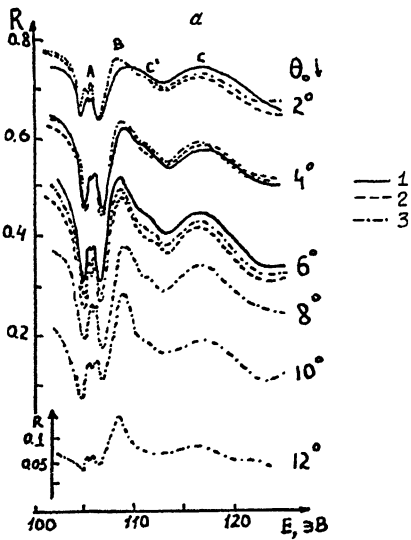


Рис. 2. а) Ближняя тонкая структура $SiL_{2,3}$ -спектров отражения стекла после простой полировки с последующей лазерной обработкой (серии N1) при углах скользящего падения $\theta_0 = 2^\circ, 4^\circ, 6^\circ, 8^\circ, 10^\circ$ и 12° : N5 - стекло после полировки (1), N4 - стекло после полировки с последующей „медленной“ (32 об/мин) лазерной обработкой (2), N6 - стекло после полировки с последующей „быстрой“ (70 об/мин) лазерной обработкой (3). б) Ближняя тонкая структура $SiL_{2,3}$ -спектров отражения стекла после глубокой полировки с последующей лазерной обработкой (серия N2) при углах сколь-

характерного для α -кварца [7], а также правильность тетраэдров SiO_4 ($R_{Si-O} = 1.62 \text{ \AA}$, $R_{O-O} = 2.65 \text{ \AA}$), в отличие от слегка искаженных тетраэдров SiO_4 ($R_{Si-O} = 1.597 \text{ \AA}$, $R_{Si-O} = 1.617 \text{ \AA}$, $R_{O-O} = 2.604 - 2.640 \text{ \AA}$) в α -кварце [8]. Таким образом, можно предположить, что наличие полос С и С'' в α -кварце обусловлены либо искажением тетраэдров SiO_4 , а, следовательно, понижением симметрии, что приводит к дополнительному расщеплению полосы С, либо существованием дальнего порядка в кристалле, либо обоими факторами вместе. Проводимые в настоящее время расчеты позволяют дать более конкретный ответ на этот вопрос. С точки же зрения рефлектометрии как метода исследования, важна возможность обнаружения кристаллических слоев в приповерхностной области, а также определения толщины этих слоев.

Следует также обратить внимание на существенно большие в случае стеклообразной пленки абсолютные значения коэффициентов отражения. Угловые распределения рассеянного от обсуждаемых зеркал излучения длиной волны $\lambda = 57 \text{ \AA}$ при угле скользящего падения $\theta_o = 4^\circ$, приведены на рис. 1, б. Видно, что индикатрисы рассеяния незначительно отличаются друг от друга, что свидетельствует о небольшой разнице в величинах шероховатостей отражающих поверхностей, не способной привести к наблюдаемым различиям в абсолютных значениях коэффициентов отражения. Поэтому можно предположить, что в области аномальной дисперсии для стеклообразной пленки характерна более высокая отражающая способность, нежели для кристаллической. Представленные на рис. 1 спектры образцов α -кварца и стеклообразной пленки SiO_2 будут служить эталонами при анализе спектров отражения исследованных стекол.

На рис. 2 приведена тонкая структура $SiL_{2,3}$ -спектров отражения до и после лазерной обработки (рис. 2, а - после полировки с последующей лазерной обработкой - серия № 1, рис. 2, б - после глубокой полировки с последующей лазерной обработкой - серия № 2). Видно, что хотя все спектры сходны по числу основных деталей структуры (полосы А, В, С) и их энергетическому положению, имеются и существенные различия между ними.

Спектры отражения стекла после полировки с последующей лазерной обработкой (рис. 2, а) слабо отличаются по абсолютным величинам коэффициентов отражения для фиксированных углов θ_o , в то же время для второй серии образцов (рис. 2, б) наблюдается существенный разброс по R . При этом абсолютные значения коэффициентов отражения от всех образцов второй серии (рис. 2, б) значительно (10%) превосходят величины коэффициентов отражения при тех же углах θ_o от образцов первой серии (рис. 2, а). Как

западного падения $\theta_o = 2^\circ, 4^\circ, 6^\circ, 8^\circ, 10^\circ$ и 12° : №1 - стекло после полировки (1), №2 - стекло после полировки с последующей "медленной" (32 об/мин) лазерной обработкой (2), №6 - стекло после полировки с последующей "быстрой" (70 об/мин) лазерной обработкой (3).

указывалось выше, стеклообразная пленка характеризуется существенно большей отражающей способностью по сравнению с кристаллической. Поэтому можно предположить, что наблюдаемое различие связано с присутствием на поверхности образцов второй серии стеклообразной пленки с меньшей степенью упорядоченности по сравнению с образцами первой серии. Вид тонкой структуры спектров отражения для $\theta_o = 2^\circ$ говорит в пользу высказанного предположения. Действительно, в спектрах отражения второй серии (рис. 2, б) отсутствуют детали структуры C' и C'' (только на кривой 3 виден небольшой наплыв C'), являющиеся атрибутами тонкой структуры спектра отражения кристалла. В спектрах отражения образцов первой серии (рис. 2, а) видна четко выраженная полоса C' на кривых 4,6 и затянутый край на кривой 5, указывающие на некоторое упорядочение структуры приповерхностного слоя.

Детальное рассмотрение тонкой структуры спектров, показанных на рис. 2 позволяет выявить следующие закономерности. Поверхностный слой стекол после полировки оказывается стеклообразным (отсутствуют максимумы C' и C''). Толщина этого слоя при простой полировке составляет примерно 70 Å, а при глубокой – 80 Å. Однако затянутый край полосы B в спектре стекла, прошедшего простую полировку (кривая 5), указывает на некоторое упорядочение атомного строения и в этом случае. Появление и постепенное усиление детали C' при увеличении глубины зондирования ($\theta_o = 4^\circ$, 6°) в спектрах отражения стекла после простой полировки свидетельствует об усилении процесса упорядочения атомного строения с глубиной в этом образце. В то же время глубже стеклообразного слоя на поверхности стекла после глубокой полировки находится слой с высокой степенью упорядоченности, близкой к кристаллической (ярко выражены максимумы C' и C''). Толщина этого слоя примерно 60 Å.

Как „медленная”, так и „быстрая” лазерная обработка стекол, прошедших разную полировку, создают примерно одинаковую картину атомного строения поверхностного слоя – формируется слой с признаками кристаллизации толщиной примерно 170 Å. Поскольку максимум C' в спектрах стекол после глубокой полировки и лазерных обработок, полученных при $\theta_o = 4^\circ$ (рис. 2, б), проявляется отчетливее, чем в других спектрах, можно предположить, что в этих условиях возникает некоторое распределение степени упорядоченности по глубине с максимумом в районе 170 Å.

Список литературы

- [1] Филатова Е.О. Тонкая структура спектров отражения и оптические постоянные кремния и его соединений в области ультрамягкого рентгеновского излучения. Автореф. канд. дис. физ.-мат. наук. Л.: ЛГУ, 1984.

- [2] Благовещенская Т.А., Филатова Е.О. // Письма в ЖТФ. 1991. Т. 17. В. 12. С. 14-16.
- [3] Павлычев А.А., Виноградов А.С., Кондратьева И.В. // ФТТ. 1976. Т. 28. В. 9. С. 2881.
- [4] Абаренков И.В., Антонова И.М. // Квантовая теория атомов и молекул. Л.: ЛГУ, 1981. В. 1. С. 8.
- [5] Филатова Е.О., Виноградов А.С., Зимкина Т.М. // ФТТ. Т. 27. В. 4. С. 987-999.
- [6] Павлычев А.А., Виноградов А.С., Зимкина Т.М. // Оптика и спектроскопия. 1982. Т. 52. В. 11 С. 231-236.
- [7] Аппен А.А. Химия стекла Л.: Химия, 1970. С. 352.
- [8] Силинь А.Р., Трухин А.Н. Точечные дефекты и элементарные возбуждения в кристаллическом и стеклообразном SiO_2 . Рига, 1985.

Санкт-Петербургский
государственный университет

Поступило в Редакцию
26 февраля 1992 г.
В окончательной редакции
29 мая 1992 г.